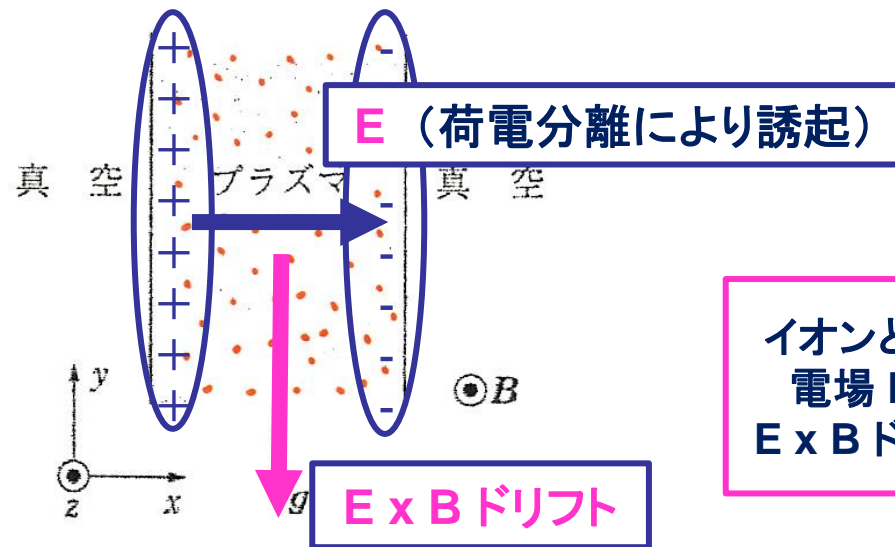


# 磁界中プラズマの集団運動

— F x Bドリフトの応用例

(a) 平板上プラズマの運動 (その1)

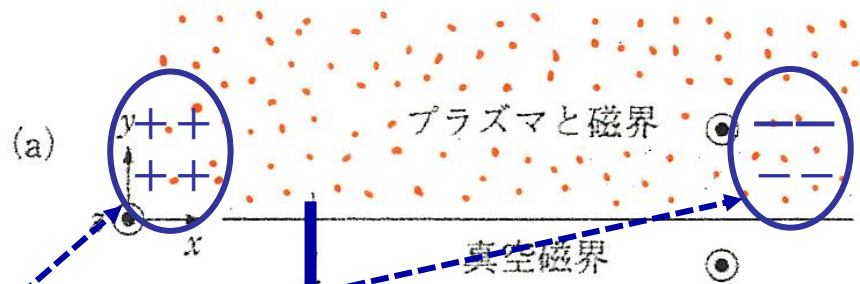


イオンと電子が逆方向へドリフトすることにより  
電場  $E$  が誘起され、その電場と磁場による  
 $E \times B$  ドリフトにより、下方 ( $mg$  の方向) へ移動

図 6.7 磁界中での平板状  
プラズマの運動

# 磁界中プラズマの 集団運動

- F x Bドリフトの応用例
- (b) 平板上プラズマの運動 (その2)



$$v_F = F \times B / qB^2 \text{ (F x Bドリフト)}$$

$$F = mg$$

境界面が平面であれば

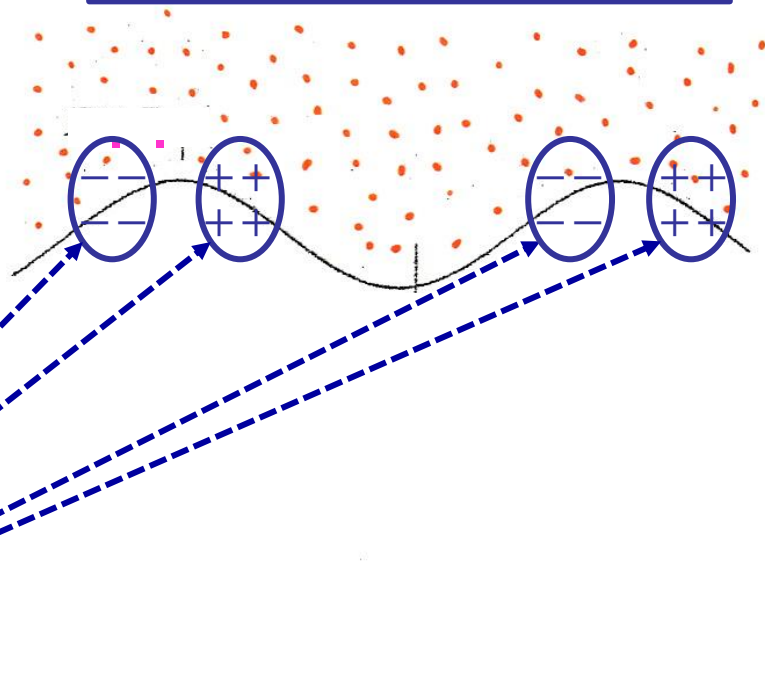
左右方向境界が無限遠方の  
場合、何も起こらないが—

# 磁界中プラズマの 集団運動

— F x B ドリフトの応用例  
(b) 平板上プラズマの運動 (その2)

境界面に多少の凹凸があれば

凹凸の左右で荷電分離が起  
こって



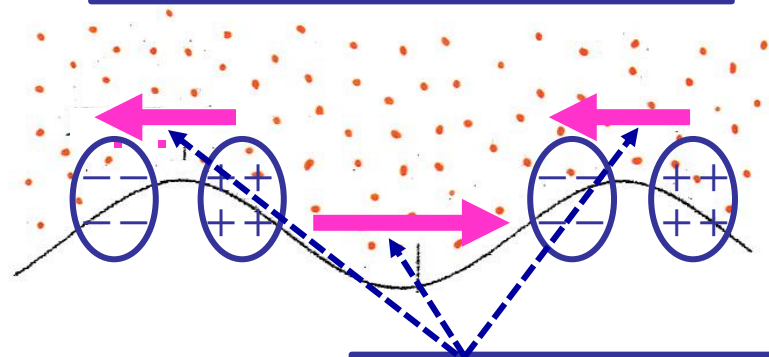
$$v_F = F \times B / qB^2 \quad (F \times B \text{ドリフト})$$

# 磁界中プラズマの 集団運動

— F x B ドリフトの応用例  
(b) 平板上プラズマの運動 (その2)

境界面に多少の凹凸があれば

凹凸の左右で荷電分離が起  
こって電場 E が誘起され



E (荷電分離により誘起)

$$v_F = F \times B / qB^2 \quad (F \times B \text{ドリフト})$$

# 磁界中プラズマの 集団運動

—  $F \times B$  ドリフトの応用例  
(b) 平板上プラズマの運動 (その2)

境界面に多少の凹凸があれば

凹凸の左右で荷電分離が起  
こって電場  $E$  が誘起され

$E$  (荷電分離により誘起)

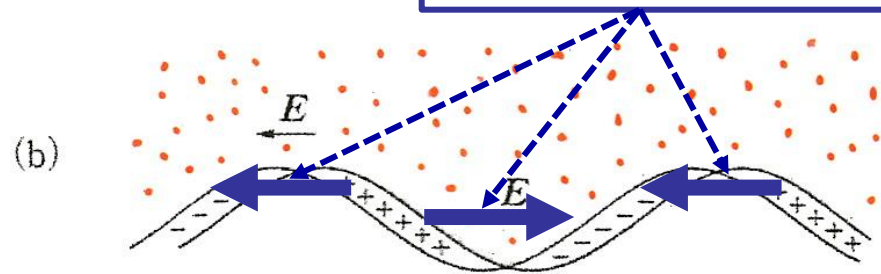


図 6.8 フルート不安定性

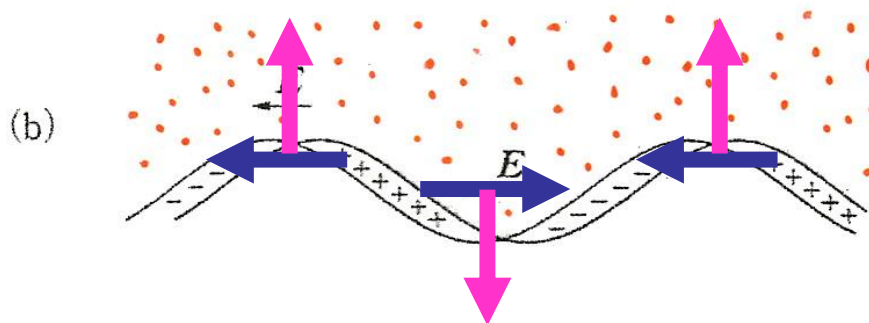
# 磁界中プラズマの 集団運動

—  $F \times B$  ドリフトの応用例  
(b) 平板上プラズマの運動 (その2)

境界面に多少の凹凸があれば

凹凸の左右で荷電分離が起  
こって電場  $E$  が誘起され、  
 $E \times B$  ドリフトにより—

$E$  (荷電分離により誘起)



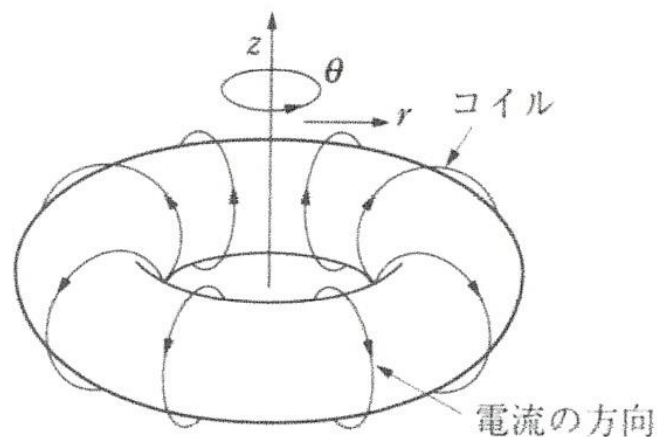
「 $E \times B$  ドリフト」による  
フルート(縦みぞ型)不安定性

図 6.8 フルード不安定性

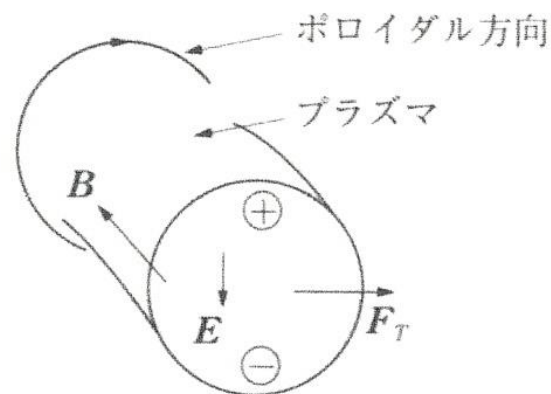
# 磁界中プラズマの 集団運動

—  $F \times B$ ドリフトの応用例

(c) 単純トロイダル磁界中の運動



(a) 磁界の発生



(b) 磁界中のドリフト

## 単純トロイダル磁場

で与えられる。ただし、 $K$  はコイルの巻数と電流に関係した定数で、 $r$  はコイルの中心 ( $z$  軸) からの距離である。 $\theta$  方向をトロイダル (toroidal) 方向といい、式 (6.41) のような磁界を、単純トロイダル磁界という。この磁界は、 $z$  方向の直線電流によってつくられる。

# 磁界中プラズマの集団運動 — $F \times B$ ドリフトの応用例

(c) 単純トロイダル磁界中の運動 (1) 湾曲のある磁界中の性質

## 6.3 磁力線と垂直方向に不均一な磁界

### 6.3.1 湾曲ドリフト ( $v_{\parallel}$ によるドリフト)

図 6.9 のように磁力線が湾曲している場合、磁力線に沿って  $v_{\parallel}$  の速さで動く粒子には、遠心力

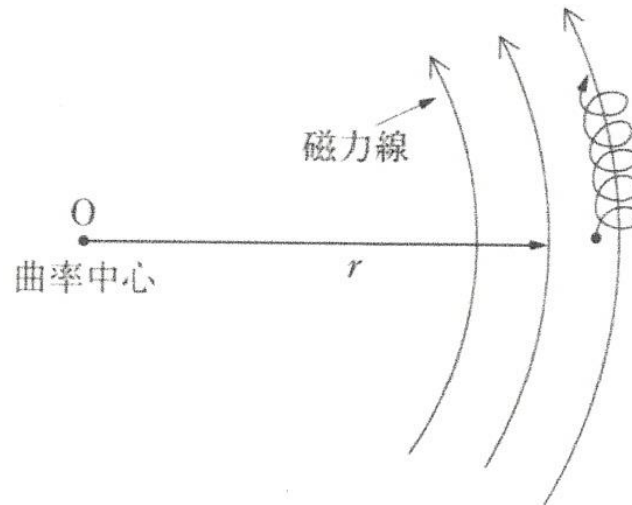


図 6.9 湾曲磁界

# 磁界中プラズマの集団運動 — $F \times B$ ドリフトの応用例

(c) 単純トロイダル磁界中の運動 (1) 湾曲のある磁界中の性質

## 6.3 磁力線と垂直方向に不均一な磁界

### 6.3.1 湾曲ドリフト ( $v_{\parallel}$ によるドリフト)

図 6.9 のように磁力線が湾曲している場合、磁力線に沿って  $v_{\parallel}$  の速さで動く粒子には、遠心力

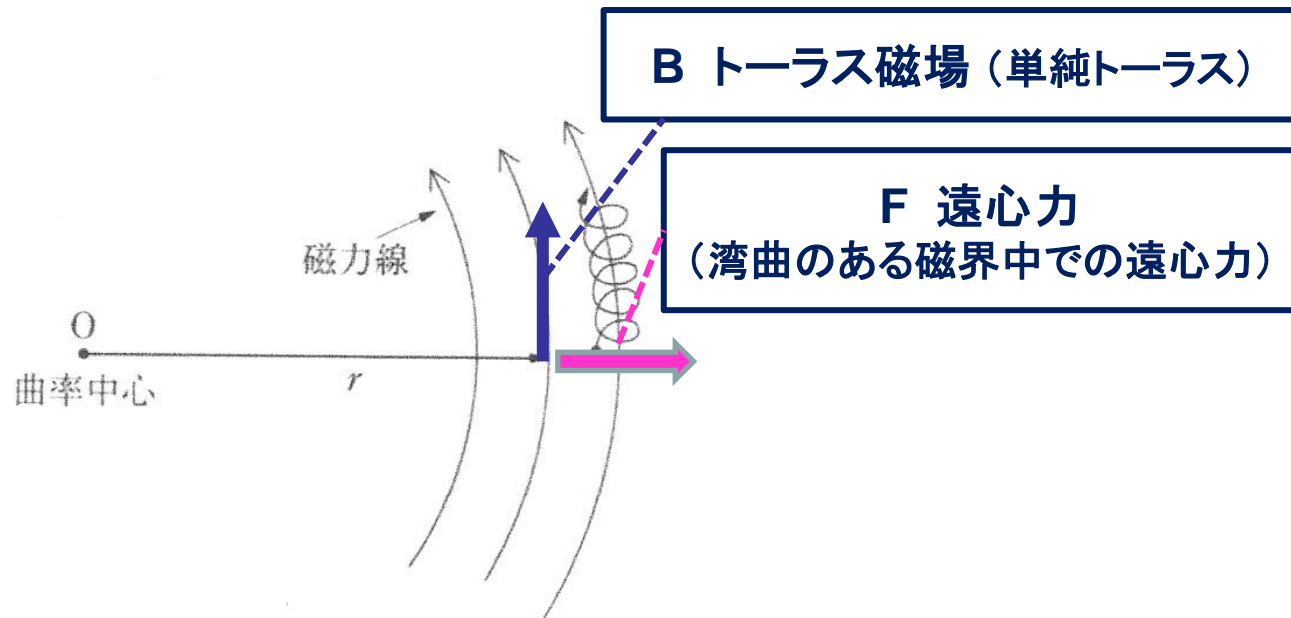


図 6.9 湾曲磁界

# 磁界中プラズマの集団運動 — F x B ドリフトの応用例

(c) 単純トロイダル磁界中の運動 1) 湾曲のある磁界中の性質

## 6.3 磁力線と垂直方向に不均一な磁界

### 6.3.1 湾曲ドリフト ( $v_{\parallel}$ によるドリフト)

図 6.9 のように磁力線が湾曲している場合、磁力線に沿って  $v_{\parallel}$  の速さで動く粒子には、遠心力

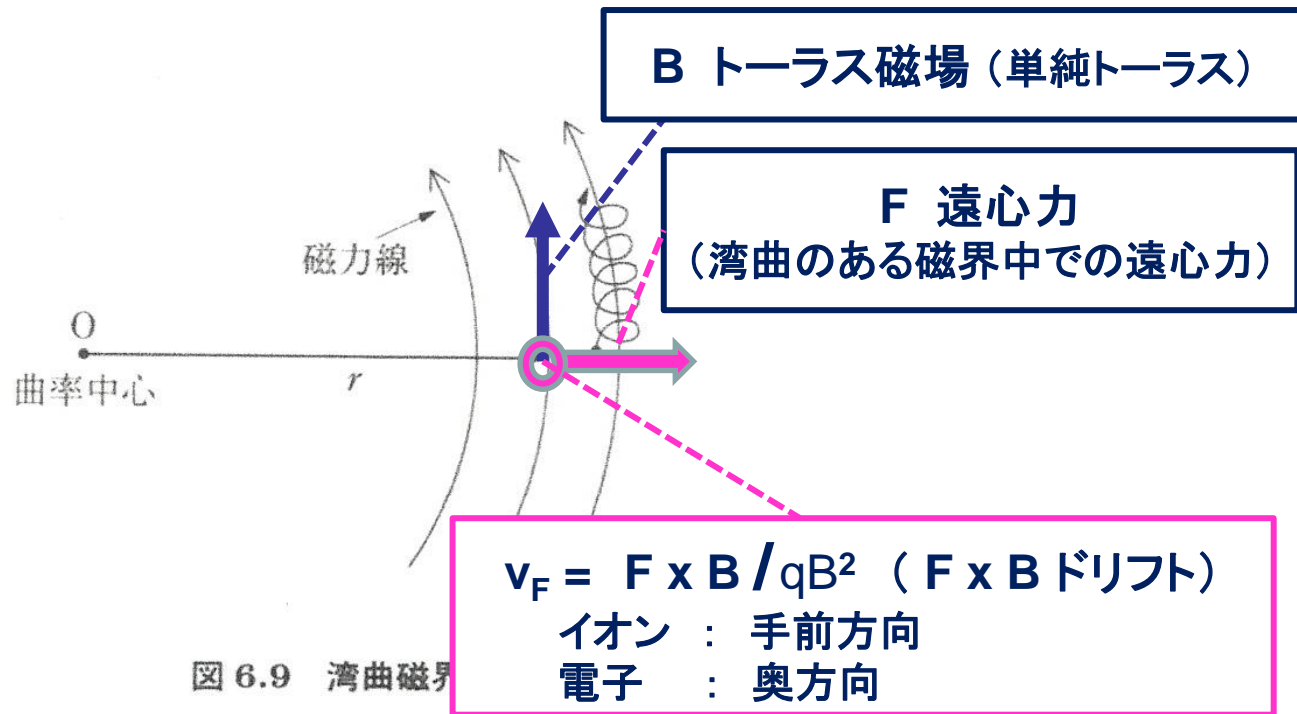
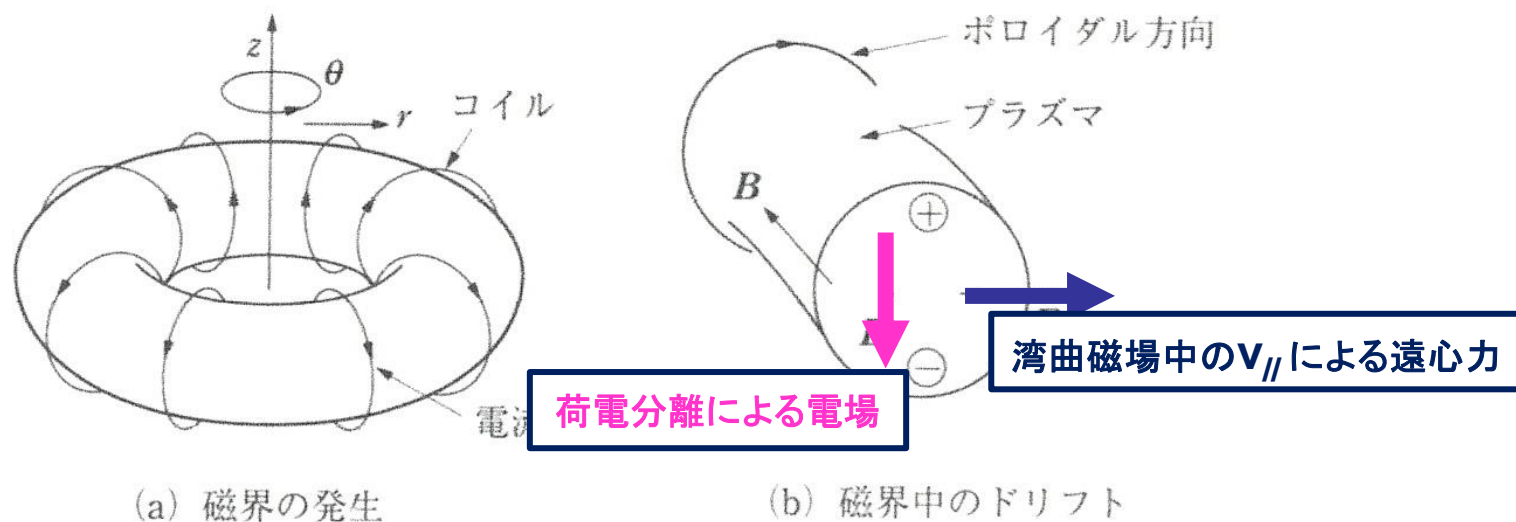


図 6.9 湾曲磁界



### 単純トロイダル磁場

で与えられる。ただし、 $K$  はコイルの巻数と電流に関係した定数で、 $r$  はコイルの中心 ( $z$  軸) からの距離である。 $\theta$  方向をトロイダル (toroidal) 方向といい、式 (6.41) のような磁界を、単純トロイダル磁界という。この磁界は、 $z$  方向の直線電流によってもつくられる。

#### a. 単純トロイダル磁界中の単一粒子のドリフト

上の例が示すように、磁力線が湾曲すると、必ず磁界に勾配ができる。した

# 磁界中プラズマの集団運動 — F x Bドリフトの応用例

## (c) 単純トロイダル磁界中の運動 (2) 磁力線と垂直方向に不均一な磁界中の性質

$$F_R = (mv_{\parallel}^2/r)\hat{r} \quad (6.33)$$

が働く。ただし、 $r$  は磁力線の曲率半径、 $\hat{r}$  は  $r$  方向の単位ベクトルである。 $F_R$  は式 (6.14) の  $F$  として作用し、その結果ドリフトが生じる。これを湾曲ドリフトまたは曲率ドリフト (curvature drift) という。その速度  $v_R$  は、式 (6.24) により次式で与えられる。

$$v_R = F_R \times B / (qB^2) \quad (6.34)$$

### 6.3.2 $\nabla B$ ドリフト ( $v_{\perp}$ によるドリフト)

後述のように、磁力線が湾曲すると磁界に勾配ができる。そのため、図 6.10 に示すように、 $z$  方向の磁界  $B$  が  $x$  方向に変化する空間での荷電粒子の運動を調べる。ここでは、 $v_{\parallel} = 0$  とする。もし  $B = B_0$  で空間的に一様ならば、速さが  $v_{\perp}$  の粒子は、ラーマー半径  $a = mv_{\perp} / (|q|B_0)$  の円運動を行う。そして、ローレンツ力  $q(v \times B)$  の 1 旋回についての平均値  $F_B$  はゼロで、ドリ



速さが  $v_{\perp}$  の粒子は、ラーマー半径  $a \equiv \hbar v_{\perp} / (|q| B_0)$  の円運動を行う。そして、ローレンツ力  $q(v \times B)$  の1旋回についての平均値  $F_B$  はゼロで、ドリ

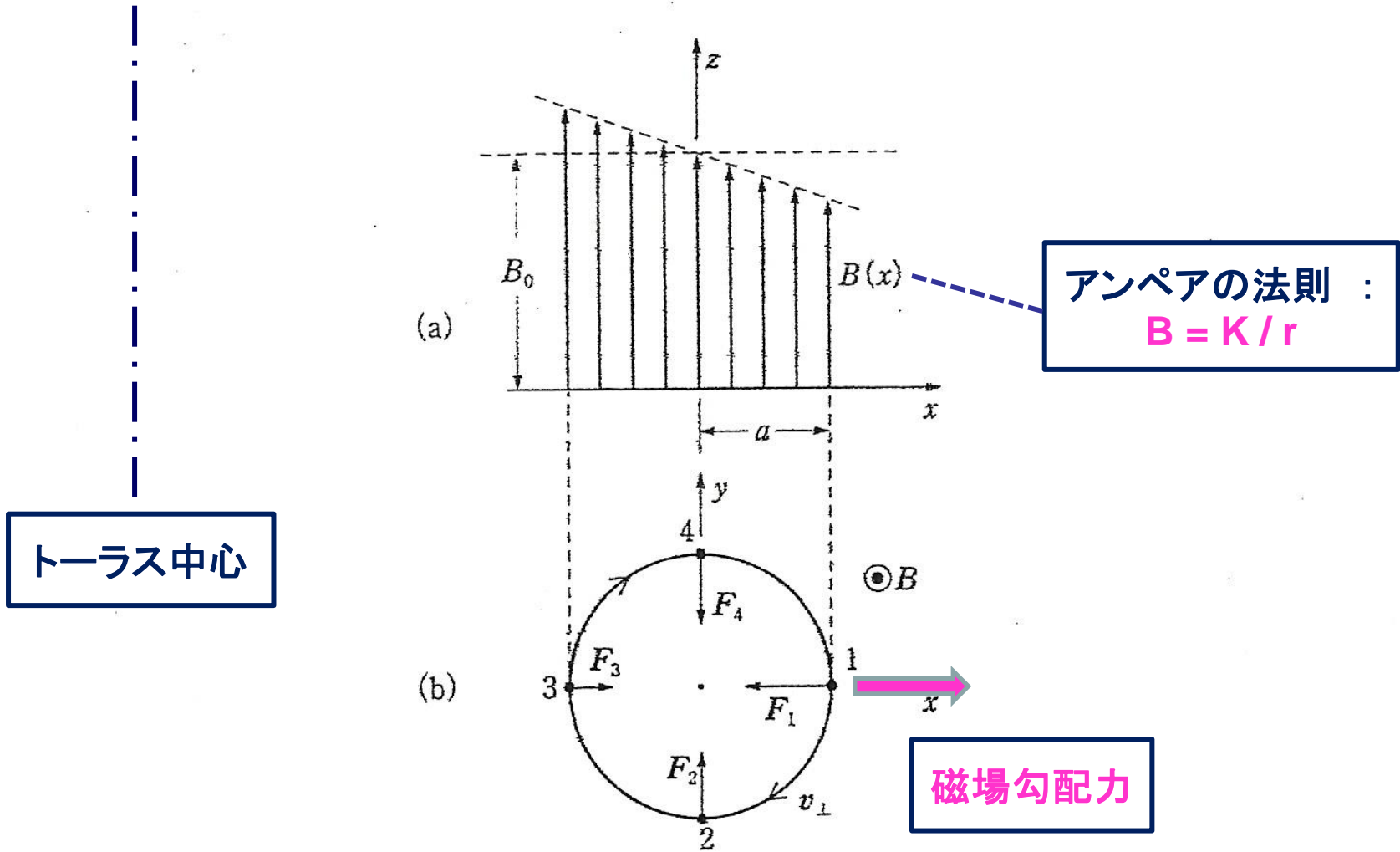


図 6.10 1 旋回中正イオンに働く力

フトもしない。一方、 $B$  が空間的に不均一な場合には、 $\mathbf{F}_B$  は一般にゼロとならない。したがって式 (6.14) の  $\mathbf{F}$  として  $\mathbf{F}_B$  が作用し、ドリフトが生じる。

次に、図 6.10 の不均一磁界における  $\mathbf{F}_B$  を求める。半径  $a = mv_{\perp}/(|q|B_0)$  の円周上の代表点 1, 2, 3, 4 におけるローレンツ力をそれぞれ  $\mathbf{F}_1, \mathbf{F}_2, \mathbf{F}_3, \mathbf{F}_4$  とすると

$$\mathbf{F}_1 = -qv_{\perp}[B_0 + (\partial B/\partial x)a]\hat{x} \quad (6.35)$$

$$\mathbf{F}_3 = qv_{\perp}[B_0 - (\partial B/\partial x)a]\hat{x} \quad (6.36)$$

$$\mathbf{F}_2 + \mathbf{F}_4 = 0$$

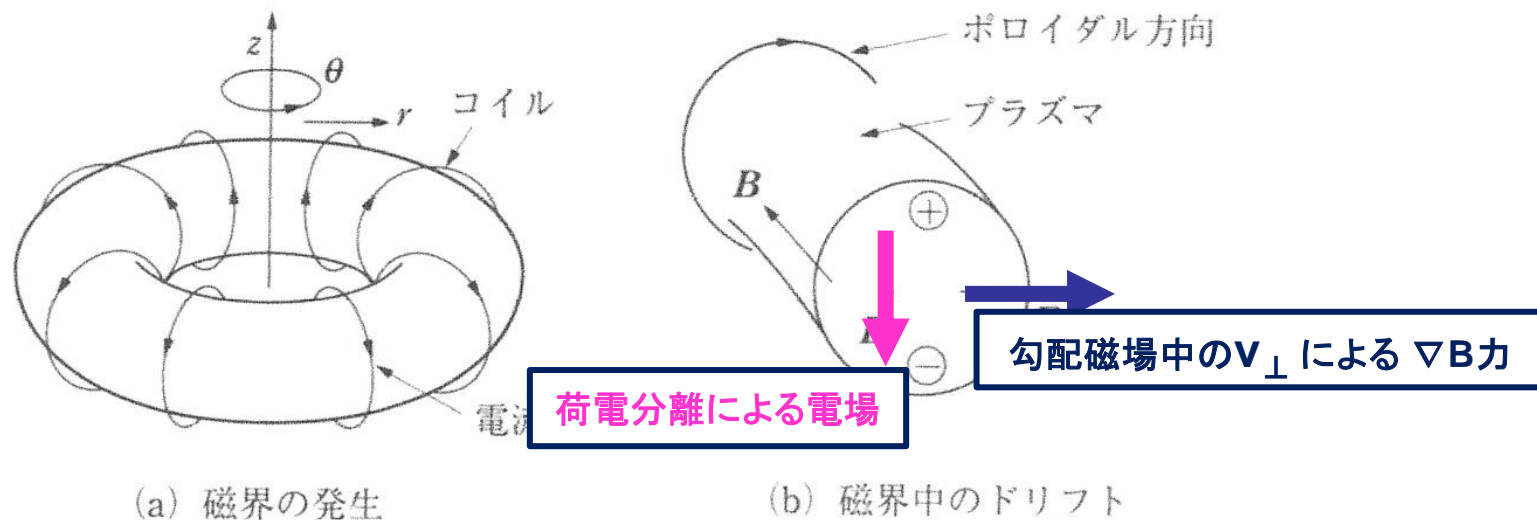
**アンペアの法則 :  $B = K/r$**   
 **$\Rightarrow dB/dr = -K/r^2 = -B/r$**

が成立する。ただし、 $(\partial B/\partial x)$  は旋回中心での勾配であり、 $\hat{x}$  は  $x$  方向の単位ベクトルである。したがって  $\mathbf{F}_B = (\mathbf{F}_1 + \mathbf{F}_2 + \mathbf{F}_3 + \mathbf{F}_4)/4$  は

$$\mathbf{F}_B = -\frac{1}{2}qv_{\perp}a\left(\frac{\partial B}{\partial x}\right)\hat{x} = -\mu_m\left(\frac{\partial B}{\partial x}\right)\hat{x} \quad (6.38) \quad a = \frac{mv_{\perp}}{\zeta B}$$

となる。ただし、

$$\mu_m = \frac{mv_{\perp}^2/2}{B_0} \quad (6.39)$$



### 単純トロイダル磁場

で与えられる。ただし、 $K$  はコイルの巻数と電流に関係した定数で、 $r$  はコイルの中心 ( $z$  軸) からの距離である。 $\theta$  方向をトロイダル (toroidal) 方向といい、式 (6.41) のような磁界を、単純トロイダル磁界という。この磁界は、 $z$  方向の直線電流によってもつくられる。

#### a. 単純トロイダル磁界中の単一粒子のドリフト

上の例が示すように、磁力線が湾曲すると、必ず磁界に勾配ができる。した

向の直線電流によってもつくられる。

a. 単純トロイダル磁界中の単一粒子のドリフト

湾曲磁場中の  $v_{//}$  による遠心力と  
勾配磁場中の  $v_{\perp}$  による  $\nabla B$  力の合計

ができる。した  
を行う。トロイ

(6.42)

となる。したがって  $F_R$  と  $F_B$  の和  $F_T$  は

$$F_T = F_R + F_B = m \left( v_{//}^2 + \frac{v_{\perp}^2}{2} \right) \frac{\hat{r}}{r} \quad (6.43)$$

となる。これによるドリフト速度  $v_T$  は、式 (6.24) により

$$v_T = F_T \times B / (qB^2) \quad (6.44)$$

で与えられる。上式には  $q$  が含まれている。したがって、重力ドリフトと同様に、正イオンと電子は反対方向にドリフトする。

b. 単純トロイダル磁界中のプラズマの運動

単純トロイダル磁界中に置かれたドーナツ状のプラズマについて考える。その一部を図 6.11 (b) に示す。多数の粒子が存在すると、集団としての現象が

# 《 単純トロイダル磁場中における作用する力とドリフト 》

原因	作用する力	ドリフト ( $\mathbf{F} \times \mathbf{B}$ )
----	-------	-----------------------------------------

---

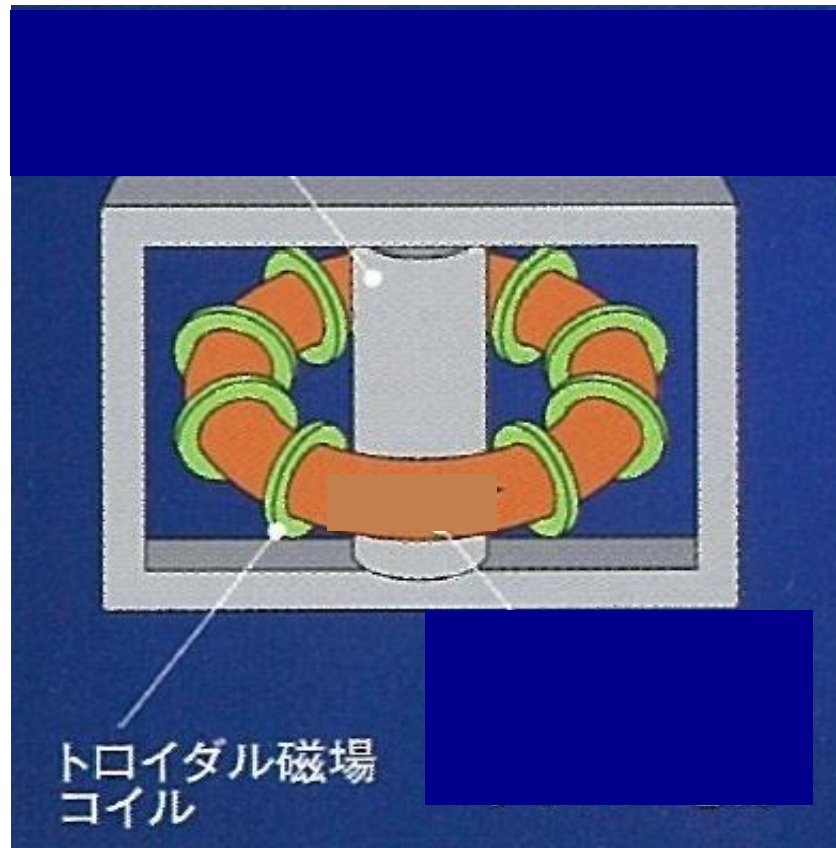
(1)  $v_{\parallel}$   $\Rightarrow$  遠心力  $= F_1 = m \frac{v_{\parallel}^2}{r} \Rightarrow F_1 \times B$  ドリフト  $\simeq$

(2)  $v_{\perp}$   $\Rightarrow$   $\begin{matrix} \text{磁場勾配} \\ \left(\frac{\partial B}{\partial r}\right) \\ \text{による力} \end{matrix} F_2 = -\frac{m v_{\perp}^2 / 2}{B} \cdot \frac{\partial B}{\partial r} \Rightarrow F_2 \times B$  ドリフト

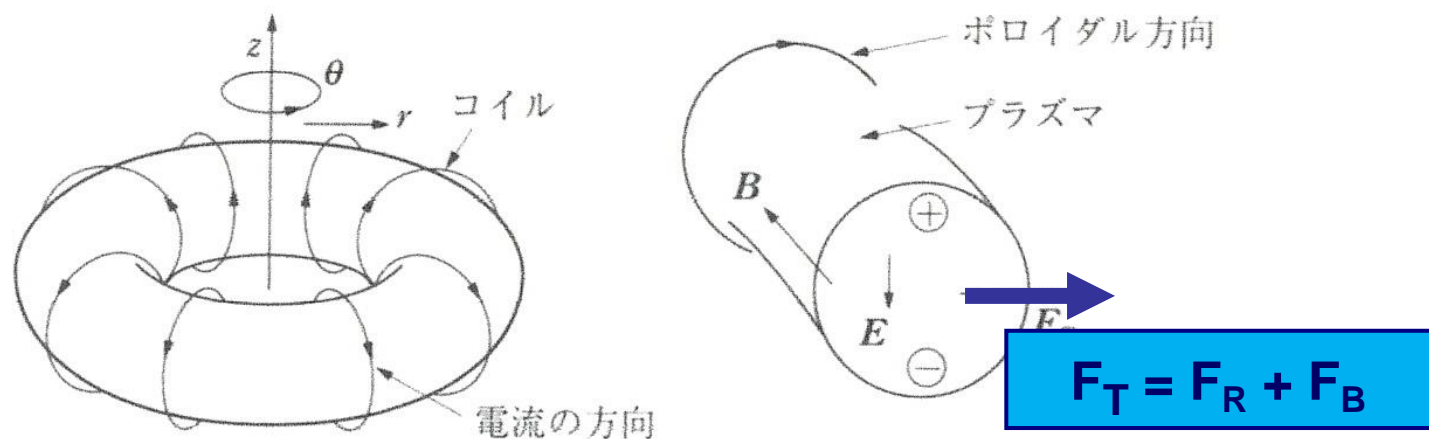
---

Total  $\begin{pmatrix} v_{\parallel} \\ v_{\perp} \end{pmatrix} \Rightarrow \begin{matrix} \text{遠心力} \\ F_1 \end{matrix} + \begin{matrix} \text{磁場勾配力} \\ F_2 \end{matrix} \Rightarrow \mathbf{F} \times \mathbf{B}$  ドリフト  $=$   
 $(\mathbf{F} = F_1 + F_2)$

# 単純トーラス磁場による プラズマの閉じ込め



ドーナツ状の磁場：トーラス型



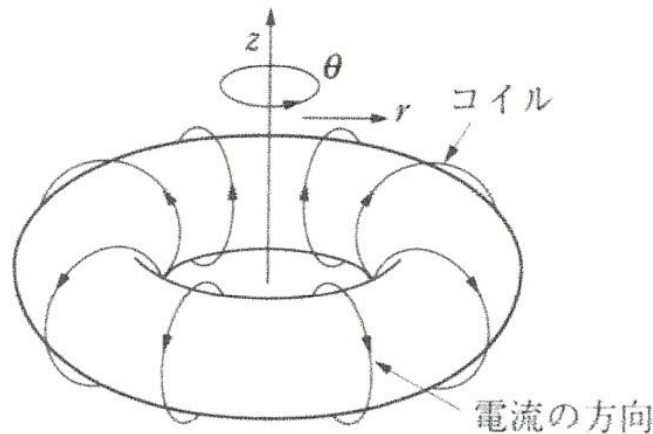
### 単純トロイダル磁場

で与えられる。ただし、 $K$  はコイルの巻数と電流に関係した定数で、 $r$  はコイルの中心 ( $z$  軸) からの距離である。 $\theta$  方向をトロイダル (toroidal) 方向といい、式 (6.41) のような磁界を、単純トロイダル磁界という。この磁界は、 $z$  方向の直線電流によってもつくられる。

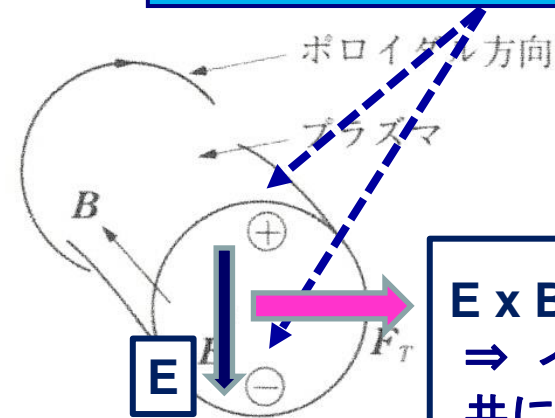
#### a. 単純トロイダル磁界中の単一粒子のドリフト

上の例が示す  $\mathbf{R} \times \mathbf{B}$  に、磁力線が湾曲すると、必ず磁界に勾配ができる。した

**$F \times B$ ドリフトによる荷電分離**  
 $\Rightarrow$  電場  $E$  の誘起  
 $\Rightarrow$  その電場との  $E \times B$ ドリフト



(a) 磁界の発生



(b) 磁界中のドリフト

**$E \times B$ ドリフト**  
 $\Rightarrow$  イオンも電子も  
 共に  $E \times B$ ドリフトで  
 トーラスの外に!

### 単純トロイダル磁場

で与えられる。ただし、 $K$  はコイルの巻数と電流に関係した定数で、 $r$  はコイルの中心 ( $z$  軸) からの距離である。 $\theta$  方向をトロイダル (toroidal) 方向といい、式 (6.41) のような磁界を、単純トロイダル磁界という。この磁界は、 $z$  方向の直線電流によってもつくれる。

#### a. 単純トロイダル磁界中の単一粒子のドリフト

上の例が示すように、磁力線が湾曲すると、必ず磁界に勾配ができる。した



トカマク

トーラス方向への  
プラズマ電流  $I_p$

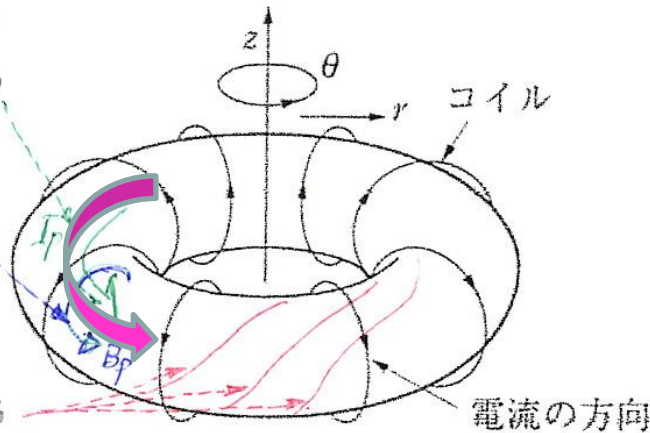
$\Rightarrow B_p \Rightarrow$

$B_p + B_T$

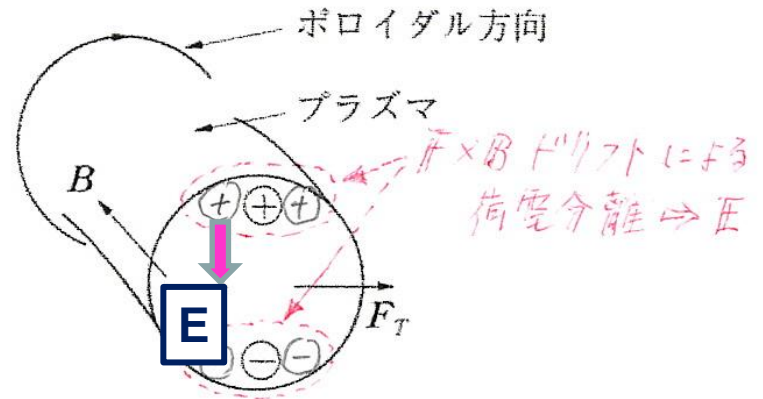
よじれた磁場

$\uparrow$

よじめたコイル  $I_h$



(a) 磁界の発生



(b) 磁界中のドリフト

ヘリカル

単純トロイダル磁場

トーラス閉じ込め

で与えられる。ただし、 $K$  はコイルの巻数と電流に関係した定数で、 $r$  はコイルの中心 ( $z$  軸) からの距離である。 $\theta$  方向をトロイダル (toroidal) 方向といい、式 (6.41) のような磁界を、単純トロイダル磁界という。この磁界は、 $z$  方向の直線電流によってもつくれる。

a. 単純トロイダル磁界中の単一粒子のドリフト

上の例が示すように、磁力線が湾曲すると、必ず磁界に勾配ができる。した

**F x Bドリフトによる荷電分離**  
 ⇒ **電場 E の誘起**  
 ⇒ **その電場との E x Bドリフト**

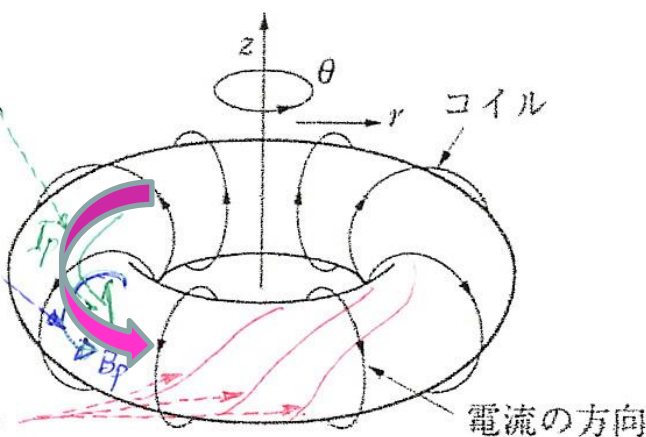
トカマク

トーラス方向への  
 プラズマ電流  $I_p$

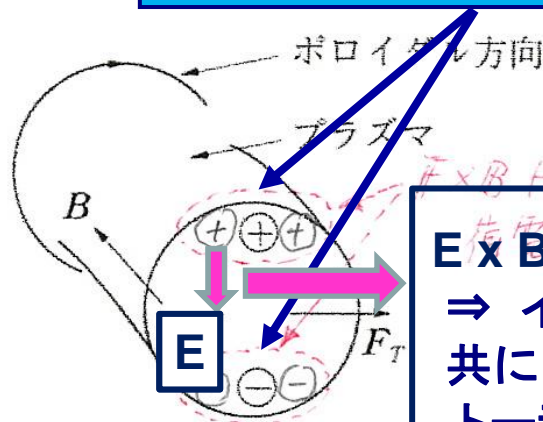
⇒  $B_p$  ⇒  
 $B_p + B_T$

よじれた磁場

よじれたコイル  $I_h$



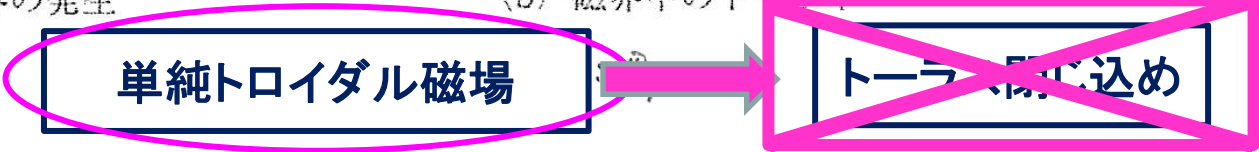
(a) 磁界の発生



(b) 磁界中のドリフト

**E x Bドリフト**  
 ⇒ **イオンも電子も共に E x Bドリフトでトーラスの外に!**

ヘリカル



で与えられる。ただし、 $K$  はコイルの巻数と電流に関係した定数で、 $r$  はコイルの中心 ( $z$  軸) からの距離である。 $\theta$  方向をトロイダル (toroidal) 方向といい、式 (6.41) のような磁界を、単純トロイダル磁界という。この磁界は、 $z$  方向の直線電流によってもつくれる。

a. 単純トロイダル磁界中の単一粒子のドリフト

上の例が示すように、磁力線が湾曲すると、必ず磁界に勾配ができる。した

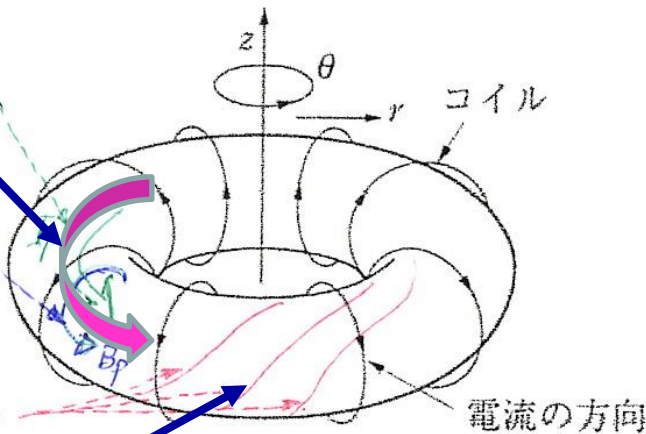
**トカマク  
(プラズマ電流)**

トーラー方向への  
プラズマ電流  $I_p$

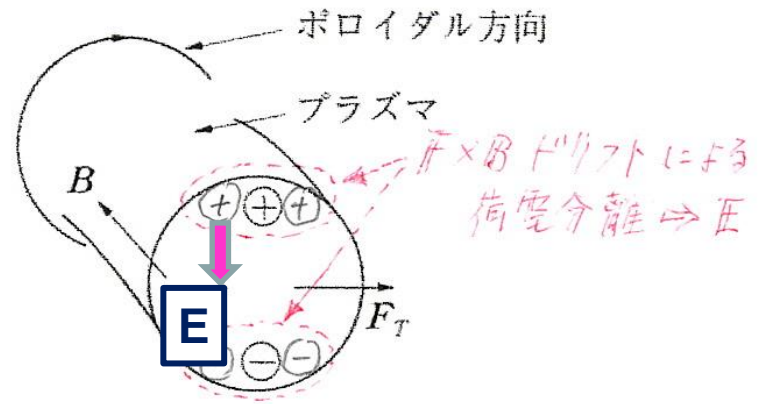
$\Rightarrow B_p \Rightarrow$   
 $B_p + B_T$

よじれた磁場

よじめたコイル  $I_h$



(a) 磁界の発生



(b) 磁界中のドリフト

**ヘリカル  
(ヘリカルコイル)**

**単純トロイダル磁場**

~~トーラー方向に込め~~

で与えられる。ただし、 $K$  はコイルの巻数と電流に関係した定数で、 $r$  はコイルの中心 ( $z$  軸) からの距離である。 $\theta$  方向をトロイダル (toroidal) 方向といい、式 (6.41) のような磁界を、単純トロイダル磁界という。この磁界は、 $z$  方向の直線電流によってもつくられる。

a. 単純トロイダル磁界中の単一粒子のドリフト

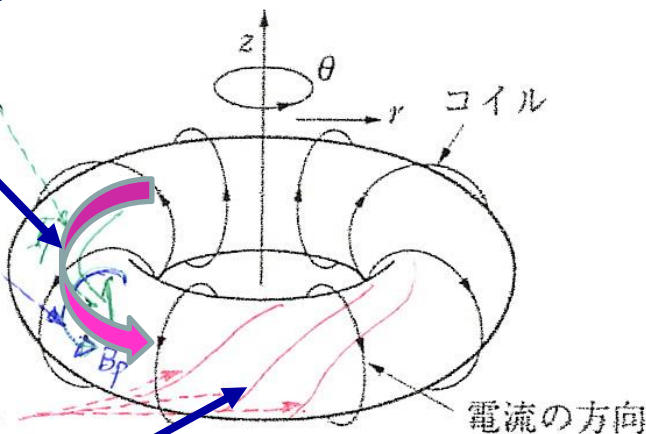
上の例が示すように、磁力線が湾曲すると、必ず磁界に勾配ができる。した

荷電分離（電場 E の誘起）の解消  
⇒ トーラス閉じ込めの成立

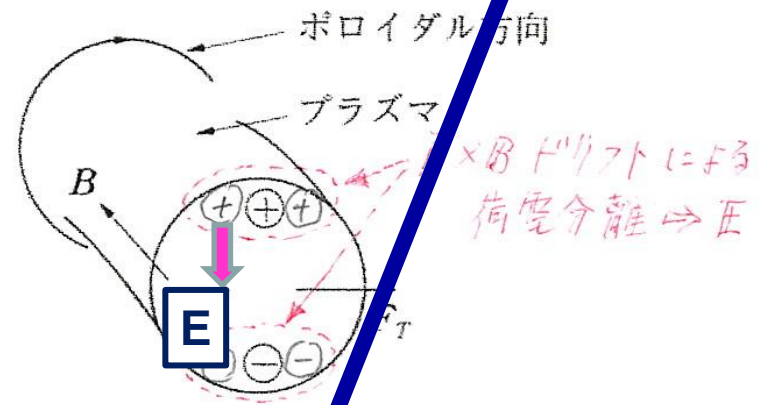
トカマク  
(プラズマ電流)

トーラス方向への  
プラズマ電流  $I_p$

⇒  $B_p$  ⇒  
 $B_p + B_T$   
↓  
よじれた磁場  
↑  
よじめたコイル  $I_h$



(a) 磁界の発生



(b) 磁界中のドリフト

ヘリカル  
(ヘリカルコイル)

~~単純~~トロイダル磁場

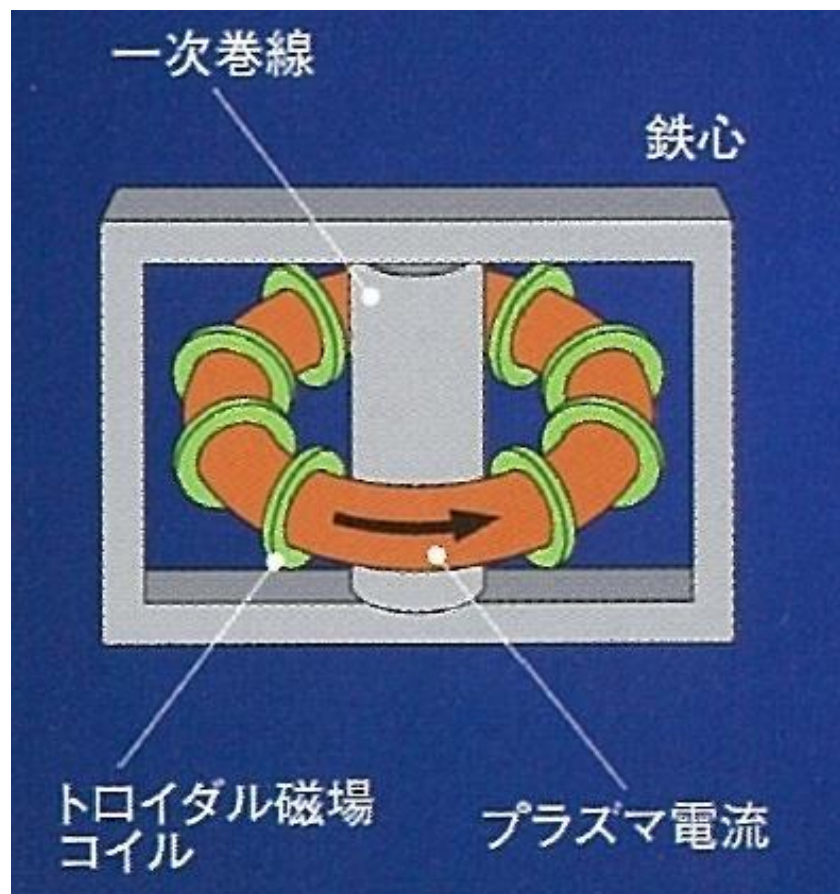
トーラス閉じ込め

で与えられる。ただし、 $K$  はコイルの巻数と電流に関係した定数で、 $r$  はコイルの中心 ( $z$  軸) からの距離である。 $\theta$  方向をトロイダル (toroidal) 方向といい、式 (6.41) のような磁界を、単純トロイダル磁界という。この磁界は、 $z$  方向の直線電流によってもつくれる。

a. 単純トロイダル磁界中の単一粒子のドリフト

上の例が示すように、磁力線が湾曲すると、必ず磁界に勾配ができる。した

# トカマク型とヘリカル型



トカマク型



ヘリカル型